

МОСКОВСКИЙ ФИЗИКО-ТЕХНИЧЕСКИЙ ИНСТИТУТ
(государственный университет)

Факультет Общей и Прикладной Физики
кафедра "Проблемы теоретической физики"

Квалификационная выпускная работа на соискание степени бакалавра

студента 328 группы Сербина М.Н.

**Флуктуационный Эффект Нернста в
Сверхпроводниках**

Научный руководитель
к. ф.-м. н., М.А. Скворцов

Москва
2007 г.

Содержание

1 Введение. Мотивация и постановка задачи	2
2 Коэффициент Нернста и диаграммная техника	2
2.1 Определение коэффициента Нернста	2
2.2 Определение теплового тока, тепловая вершина	3
2.3 Вычисление ν_N в слабом магнитном поле вблизи T_c	4
3 Вычисление намагниченности	5
3.1 Случай допускающие аналитическое рассмотрение	6
3.1.1 Слабое магнитное поле и произвольная температура $T > T_c$	6
3.1.2 Нулевая температура и произвольное $H > H_{c2}(0)$	8
3.1.3 Намагниченность вблизи линии сверхпроводящего перехода	11
3.2 Выражение для M при произвольных H и T	12
3.3 Сшивка результатов	13
3.3.1 Окрестность T_c , более подробное рассмотрение	14
3.3.2 Общая картина	15
4 Выводы и план дальнейших исследований	16

1 Введение. Мотивация и постановка задачи

В данной работе изучается флюктуационный эффект Нернста-Эттингсгаузена в сверхпроводниках находящихся выше области сверхпроводящего перехода. Эффект заключается в возникновении разности потенциалов при наличии градиента температуры и перпендикулярного к нему внешнего магнитного поля¹. В металлах и полупроводниках эффект Нернста обусловлен зависимостью времени релаксации носителей тока при взаимодействии с решеткой от их энергии (или скорости) и поэтому чувствителен к механизму рассеяния носителей тока.

В недавно вышедшей экспериментальной работе [1] измерялся эффект Нернста в сверхпроводящих аморфных пленках $\text{Nb}_{0.15}\text{Si}_{0.85}$. В силу необычайно малой длины свободного пробега вклад в эффект Нернста от свободных электронов исчезающе мал, таким образом в эксперименте напрямую измерена величина вклада от флюктуационных куперовских пар [5]. При этом значительная величина сигнала была обнаружена в очень широком диапазоне температур (вплоть до $30 \times T_c$) и магнитных полей (до $4 \times B_{c2}$).

В области слабых магнитных полей и температуры в окрестности перехода величина эффекта согласуется с теоретическими предсказаниями из работы Уссишкина [2] — коэффициент Нернста зависит от единственного параметра — сверхпроводящей корреляционной длины. При высоких температурах/сильных магнитных полях величина коэффициента отклоняется от имеющихся теоретических предсказаний. В данной работе делаются первые шаги по вычислению флюктуационного коэффициента Нернста в далекой от сверхпроводящего перехода области: в разделе 2 мы определяем коэффициент Нернста-Эттингсгаузена на языке диаграммной техники и воспроизводим результат Уссишкина вблизи T_c . Раздел 3 полностью посвящен вычислению намагниченности вклад от которой надо вычесть чтобы получить физически наблюдаемую величину. Сначала рассматриваются всевозможные случаи допускающие аналитическое рассмотрение, затем выводится общая формула и полная картина поведения намагниченности во всем диапазоне температур и полей.

2 Коэффициент Нернста и диаграммная техника

2.1 Определение коэффициента Нернста

Рассмотрим схему эксперимента по наблюдению эффекта Нернста-Эттингсгаузена (в дальнейшем мы будем называть его просто эффектом Нернста). Пусть имеются градиент температуры $(-\nabla T) \parallel \hat{\mathbf{x}}$ и магнитное поле $H \parallel \hat{\mathbf{z}}$ и мы измеряем отклик электрического поля вдоль оси $\hat{\mathbf{y}}$. Тогда, по определению, коэффициент Нернста равен

$$\nu_N = \frac{E_y}{(-\nabla T)_x H}$$

Однако теоретическое рассмотрение позволяет получить коэффициенты связывающие электрический и тепловой транспортные токи с электрическим полем и градиентом температуры:

$$\begin{aligned} \mathbf{j}_{tr}^{(e)\alpha} &= \sigma^{\alpha\beta} \mathbf{E}^\beta + \beta^{\alpha\beta} \nabla^\beta T \\ \mathbf{j}_{tr}^{(h)\alpha} &= \gamma^{\alpha\beta} \mathbf{E}^\beta - \kappa^{\alpha\beta} \nabla^\beta T \end{aligned} \quad (1)$$

Здесь $\beta^{\alpha\beta}$, $\gamma^{\alpha\beta}$ и $\kappa^{\alpha\beta}$ — тензоры термоэлектрических коэффициентов и теплопроводности. Тензоры $\beta^{\alpha\beta}$ и $\gamma^{\alpha\beta}$ связаны между собой соотношением Онсагера, $\gamma^{\alpha\beta}(H) = -T\beta^{\alpha\beta}(-H)$. Применяя уравнения (1), можно получить для коэффициента Нернста следующий результат:

$$\nu_N = \frac{1}{H} \frac{\beta^{xy}\sigma^{xx} - \beta^{xx}\sigma^{xy}}{(\sigma^{xx})^2 + (\sigma^{xy})^2}$$

Мы предполагаем наличие симметрии между электронами и дырками, другими словами пренебрегаем всеми вкладами вызванными асимметрией различных свойств (к примеру, плотности состояний) по разные стороны от ферми-поверхности. В данном приближении $\sigma^{xy} = \beta^{xx} = \kappa^{xy} = 0$ и для вычисления коэффициента Нернста нам необходимо найти вклад от сверхпроводящих флюктуаций в компоненту β^{xy} тензора β (считается что спаривание происходит в s канале [2]). При этом в формуле

$$\nu_N = \frac{1}{H} \frac{\beta^{xy}}{\sigma^{xx}}$$

можно считать σ^{xx} равной обычной проводимости не сильно близко от T_c (точнее, в области $\frac{T-T_c}{T_c}, \frac{H-H_{c2}}{H_{c2}} \gg G_i \sim \frac{1}{g}$, где $g = \frac{\hbar}{e^2} \frac{1}{R_\square}$ — безразмерный кондактанс пленки).

¹этот эффект связан с противоположным эффектом Нернста (иногда его называют эффектом Эттингсгаузена) — возникновением градиента температуры при протекании тока через проводник в магнитном поле.

2.2 Определение теплового тока, тепловая вершина

Ситуация с записью оператора теплового тока является куда более сложной в сравнении с электрическим током, поскольку понятие количества тепла не имеет четкого определения в гамильтоновом формализме. Чтобы понять выражение для теплового тока, надо начать рассмотрение с определения дифференциала количества тепла при фиксированном объеме:

$$\delta Q(t) = T\delta S = \delta\mathcal{E}(t) - \mu\delta N(t) + \mathbf{j}^{(e)}(\mathbf{r}) \cdot \delta\mathbf{A}(\mathbf{r}, t) \quad (2)$$

Причем здесь векторный потенциал $\mathbf{A}(\mathbf{r}, t)$ состоит из двух слагаемых, одно из которых соответствует магнитному полю и не зависит от времени, а второе слагаемое, ответственное за электрическое поле, является малым, так как само электрическое поле мало. Аналогично можно записать $\mathbf{j}^{(e)} = \mathbf{j}_{tr}^{(e)} + \mathbf{j}_{magn}^{(e)}$ и пренебречь малым (опять таки, в силу малости электрического поля) $\mathbf{j}_{tr}^{(e)}$. Оставшийся ток $\mathbf{j}_{magn}^{(e)}(\mathbf{r})$ не зависит от временной части векторного потенциала и выражается через намагниченность образца \mathbf{M} как $\mathbf{j}^{(e)} = \mathbf{j}_{magn}^{(e)} = \nabla \times \mathbf{M}$. Рассмотрев временную вариацию от обоих частей уравнения (2), учитывая все вышесказанное, можно записать:

$$\frac{\delta Q}{\delta t} = \frac{\delta\mathcal{E}}{\delta t} - \mu \frac{\delta N}{\delta t} + \nabla \times \mathbf{M} \cdot \frac{\delta\mathbf{A}_E(\mathbf{r}, t)}{\delta t} \quad (3)$$

Естественно определить полный тепловой ток $\mathbf{j}_{(Q)}$ и полный поток энергии $\mathbf{j}_{(\mathcal{E})}$ потребовав

$$\begin{aligned} \operatorname{div} \mathbf{j}_{(Q)} &= -\frac{\delta Q}{\delta t} \\ \operatorname{div} \mathbf{j}_{(\mathcal{E})} &= -\frac{\delta\mathcal{E}}{\delta t} \end{aligned}$$

Слагаемое $\mu \frac{\delta N}{\delta t}$ соответствует потоку энергии вызванному упорядоченным движением частиц, поэтому транспортный ток соответствует первым двум слагаемым в (3):

$$\begin{aligned} \operatorname{div} \mathbf{j}_{(tr)}^{(h)} &= -\frac{\delta\mathcal{E}}{\delta t} + \mu \frac{\delta N}{\delta t} \\ \mathbf{j}_{(tr)}^{(h)} &= \mathbf{j}_{(\mathcal{E})} - \frac{\mu}{e^*} \mathbf{j}_{tr}^{(e)} \end{aligned}$$

(e^* — заряд частицы). Наконец, $\nabla \times \mathbf{M} \cdot \mathbf{E} = \operatorname{div} (\mathbf{M} \times \mathbf{E}) = \operatorname{div} \mathbf{j}_{magn}^{(h)}$. В результате, учитя (3), мы можем записать для $\mathbf{j}_{(Q)}$:

$$\mathbf{j}_{(Q)} = \mathbf{j}_{tr}^{(h)} + \mathbf{j}_{magn}^{(h)}, \quad \mathbf{j}_{magn}^{(h)} = \mathbf{M} \times \mathbf{E}$$

Таким образом, тензор $\tilde{\beta}^{\alpha\beta}$ определенный как

$$\mathbf{j}_{(Q)}^\alpha = -T\tilde{\beta}^{\alpha\beta}\mathbf{E}^\beta \quad (4)$$

связан с наблюдаемой величиной $\beta^{\alpha\beta}$, которая входит в выражение для коэффициента Нернста, следующим образом:

$$\beta^{\alpha\beta} = \tilde{\beta}^{\alpha\beta} + \frac{1}{T} e^{\alpha\beta\gamma} M^\gamma \quad (5)$$

Мы рассматриваем тензор $\tilde{\beta}$ вместо β поскольку существует простое выражение для вершины оператора именно теплового тока, т.н. ε -представление тепловой вершины в котором

$$\hat{\gamma}_{(Q)}^i = \frac{i(\varepsilon_n + \varepsilon_{n+\nu})}{2} \frac{p_i}{m_e} \quad (6)$$

Что касается вершины соответствующей оператору электрического тока, то она имеет вид

$$\hat{\gamma}_{(e)}^i = e^* \frac{p_i}{m_e} \quad (7)$$

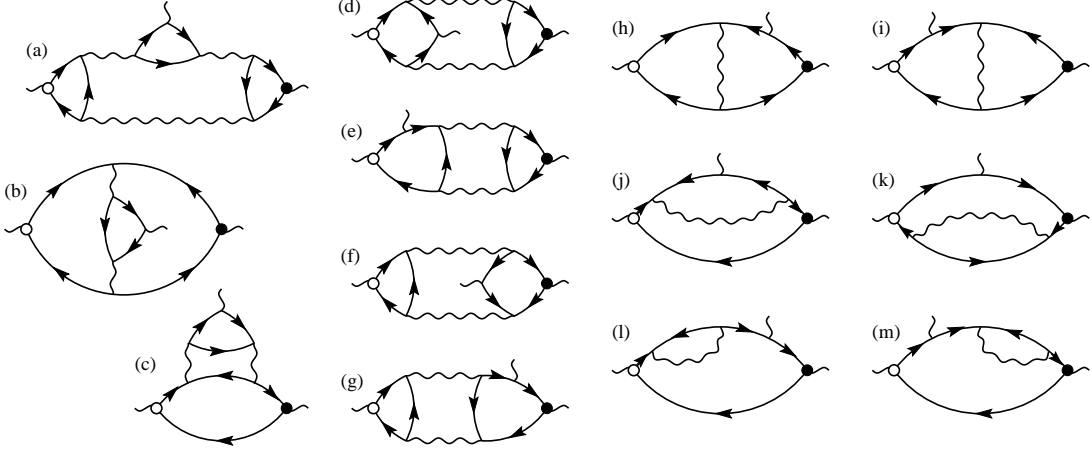


Рис. 1: Диаграммы, дающие вклад в $Q_{(eQ)}^{\alpha\beta}(\omega_\nu)$ в слабом магнитном поле. Диаграммы (а, d-g) соответствуют вставке магнитной вершины в АЛ диаграмму, (b, h, i) — в МТ диаграмму, (c, j, l, k, m) — в диаграмму плотности состояний. Из работы [2].

2.3 Вычисление ν_N в слабом магнитном поле вблизи T_c

Мы проведем вычисление β^{xy} аналогично тому как это было сделано в работах [2], [3] (см. также работу [7]). Согласно формуле Кубо, мы можем записать для тензора $\tilde{\beta}^{\alpha\beta}$ определенного в (4):

$$\tilde{\beta}^{\alpha\beta} = -\frac{1}{T} \lim_{\omega \rightarrow 0} \frac{\text{Im } Q_{(eQ)}^{\alpha\beta}(\omega)}{\omega}$$

где $Q_{(eQ)}^{\alpha\beta}$ — фурье образ запаздывающей корреляционной функции операторов электрического и теплового тока $\hat{\mathbf{J}}_{(e)}^\alpha, \hat{\mathbf{J}}_{(Q)}^\beta$ в представлении гейзенберга. Его можно получить аналитическим продолжением функции $Q_{(eQ)}^{\alpha\beta}(k, \omega_\nu)$ определенной на мацубаровских частотах, которая представляется петлей точных гриновских функций с двумя вершинами (6), (7). Поправки первого порядка к $Q_{(eQ)}^{\alpha\beta}(k, \omega_\nu)$ определяются тремя типами диаграмм, т.н. диаграммой Асламазова-Ларкина (АЛ), Маки-Томпсона (МТ) и перенормировкой плотности состояний.

В случае слабого магнитного поля, его можно учесть (в основном порядке) вводя в диаграммы дополнительную токовую вершину соответствующую магнитному полю. Тогда мы получаем набор диаграмм изображенный на рис. 1.

Если мы находимся вблизи T_c , наибольший вклад дают диаграммы содержащие максимальное количество флюктуационных пропагаторов. Это значит, что нам необходимо вычислить только диаграмму (а) (и ее зеркальное отражение). Мы выбираем векторный потенциал в виде $A^y = H\hat{x} = -iH\frac{\partial}{\partial q_x}$ и учитываем его наличие используя градиентно-инвариантный импульс в пропагаторе флюктуационных пар. Тогда общее выражение для $Q_{(eQ)}^{\alpha\beta}(\omega_\nu)$, с учетом связи между тепловой и электрической вершинами, записывается как

$$Q_{(eQ)}^{\alpha\beta(AL)}(H, \omega_\nu) = \frac{2iT}{e} \sum_{\Omega_k} \int \frac{\Omega_k d^2 q}{(2\pi)^2} B_{(e)}^\alpha(q) B_{(e)}^\beta(q) L(q - 2eA, \Omega_k) L(q - 2eA, \Omega_k + \omega_\nu)$$

(выражение написано для $d = 2$, все формулы и рассуждения написанные ранее применимы как к двумерному, так и к трехмерному случаю), где L — флюктуационный пропагатор куперовских пар вблизи перехода, точное выражение для которого приведено ниже, а $B_{(e)}^\alpha$ — эффективная вершина взаимодействия электромагнитного поля с куперовскими парами. При разложении пропагатора появляется производная от поляризационного оператора, которая снова может быть переписана через $B_{(e)}^\alpha(q)$, и, в линейном приближении по магнитному полю, можно записать:

$$Q_{(eQ)}^{xy(AL)}(H, \omega_\nu) = \frac{8H}{e^2 D} T \sum_{\Omega_k} \int \frac{\Omega_k d^2 q}{(2\pi)^2} \left[B_{(e)}^x(q) B_{(e)}^y(q) \right]^2 L(q, \Omega_k + \omega_\nu) L(q, \Omega_k) \{L^2(q, \Omega_k) + L^2(q, \Omega_k + \omega_\nu)\}$$

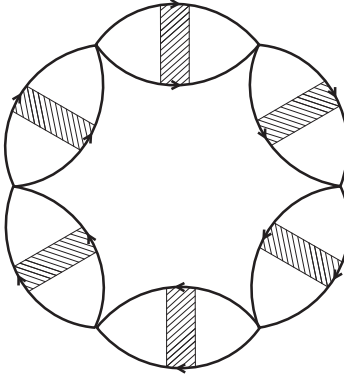


Рис. 2: Диаграммы определяющие поправку к флюктуационной энергии.

Преобразуя сумму в контурный интеграл и совершая аналитическое продолжение, после вычисления интеграла получим

$$\frac{\mathbf{J}_{(Q)}^x}{\mathbf{E}^y} = -\frac{e^2 TH}{2\pi} \frac{\eta}{\epsilon}$$

(мы используем обозначения Уссишкина из [2], где η связано с корреляционной длиной при нулевой температуре $\xi(0)$ как $\eta = \xi^2(0)$) Для намагниченности на единицу площади имеем (ср. формулу (13) и сноска на той же странице)

$$M^z = M \cdot d = -\frac{e^2 TH}{3\pi} \frac{\eta}{\epsilon}$$

Таким образом, токи намагниченности составляют значительную долю эффекта, и, с помощью (4), для $\beta^{xy(AL)}$ мы получаем:

$$\beta^{xy(AL)} = \tilde{\beta}^{xy(AL)} + \frac{1}{T} M^z = \left(\frac{1}{2} - \frac{1}{3}\right) \frac{e^2 TH}{\pi} \frac{\eta}{\epsilon} = \frac{e}{6\pi} \frac{\xi^2(T)}{l_H^2} \sim \frac{1}{T - T_c}$$

где $l_H = (1/eH)^{1/2}$ — магнитная длина ².

3 Вычисление намагниченности

Исходным пунктом наших вычислений будет выражение для однопетлевой поправки к флюктуационной части свободной энергии (ср. с [3], стр. 262). Она дается суммой диаграмм изображенных на рис. 2:

$$F(H, T) = -T \sum_{\Omega_k} \text{tr}[\log(1 - g\Pi(\Omega_k, n))]$$

Где g — константа взаимодействия в БКШ теории, Π — поляризационный оператор, след вычисляется по пространственным переменным, сумма идет по мацубаровским частотам $\Omega_k = 2\pi kT$. Учитывая, что число состояний на одном уровне Ландау равно $dN = \frac{e^* HS}{2\pi\hbar c}$, мы можем представить след как $\text{tr} \rightarrow \frac{e^* HS}{2\pi\hbar c} \sum_n$, $e^* = -2e$. Таким образом, в системе единиц $c = \hbar = k_B = 1$, мы получаем:

$$\frac{F(H, T)}{V} = +\frac{eHT}{\pi d} \sum_{\Omega_k, n} \log(1 - g\Pi(\Omega_k, n))$$

где d толщина нашего двумерного образца, а V — его объем.

L — пропагатор флюктуационных куперовских пар выражается через Π как:

$$L = \frac{-g}{1 - g\Pi}$$

Теперь, используя общее выражение для L [3], справедливое как вблизи, так и вдали от сверхпроводящего перехода,

$$L^{-1} = -\nu \left[\log \frac{T}{T_c} + \psi \left(\frac{1}{2} + \frac{|\Omega_k| + 4DeH(n + 1/2)}{4\pi T} \right) - \psi \left(\frac{1}{2} \right) \right] \quad (8)$$

² В трехмерном случае мы имеем $\beta^{xy(AL)} = \frac{e}{12\pi} \frac{\xi(T)}{l_H^2} \sim \frac{1}{\sqrt{T - T_c}}$

мы получим

$$\frac{F(H, T)}{V} = +\frac{eHT}{\pi d} \sum_{\Omega_k, n} \log \mathcal{L}(\Omega_k, n) \quad (9)$$

где \mathcal{L} определено как

$$\mathcal{L}(\Omega_k, n) = \log \frac{T}{T_c} + \psi \left(\frac{1}{2} + \frac{|\Omega_k| + 4DeH(n + 1/2)}{4\pi T} \right) - \psi \left(\frac{1}{2} \right) \quad (10)$$

Перед тем как привести это выражение к виду позволяющему делать численные вычисления с помощью компьютера, мы рассмотрим некоторые случаи, допускающие аналитическое рассмотрение.

3.1 Случаи допускающие аналитическое рассмотрение

В некоторых специальных случаях выражение для поправки к свободной энергии (9), содержащее двойную сумму, может быть значительно упрощено. Это, в частности, возможно в слабых магнитных полях H при произвольных температурах T , а также при нулевой температуре и вблизи произвольной точки на плоскости (T, H) принадлежащей линии сверхпроводящего перехода. В данном разделе мы рассмотрим все три случая.

3.1.1 Слабое магнитное поле и произвольная температура $T > T_c$

Мы рассматриваем случай малых магнитных полей, т.е. делаем вычисления в главном порядке по полю. Двойная сумма в общей формуле (9) может быть преобразована в интеграл используя следующие соотношения для суммы по частотам и по уровням Ландау:

$$T \sum_{\Omega} \log \mathcal{L}(\Omega, n) = -\frac{1}{2\pi i} \int_{-\infty}^{\infty} d\omega \coth \left(\frac{\omega}{2T} \right) \log \mathcal{L}(i\omega, n) = -\frac{1}{2\pi} \int_0^{\infty} d\omega \coth \left(\frac{\omega}{2T} \right) \operatorname{Im} [\log \mathcal{L}(i\omega, n)]$$

$$\sum_{n=0}^{\infty} f(n + \frac{1}{2}) = -\frac{1}{2i} \int_{-\infty}^{\infty} dx \tanh \pi x f(ix)$$

После чего для $F(H, T)$ мы получаем:

$$\begin{aligned} \frac{F(H, T)}{V} &= -\frac{eH}{2\pi^2 id} \sum_n \int_{-\infty}^{\infty} d\omega \coth \left(\frac{\omega}{2T} \right) \log \mathcal{L}(i\omega, n) = \\ &= +\frac{eH}{2\pi^2 id} \frac{1}{2i} \int_{-\infty}^{\infty} \int_{-\infty}^{\infty} dx d\omega \coth \left(\frac{\omega}{2T} \right) \tanh \pi x \log \mathcal{L}(i\omega, ix) = \\ &= -\frac{eH}{4\pi^2 d} \int_{-\infty}^{\infty} \int_{-\infty}^{\infty} dx d\omega \coth \left(\frac{\omega}{2T} \right) \tanh \pi x \log \mathcal{L}(i\omega, ix) \end{aligned}$$

Определив функцию

$$f(x) \equiv \log \left\{ \log \frac{T}{T_c} + \psi \left(\frac{1}{2} + \frac{x}{4\pi T} \right) - \psi \left(\frac{1}{2} \right) \right\} \quad (11)$$

мы можем записать это как:

$$\frac{F(H, T)}{V} = -\frac{eH}{4\pi^2 d} \int_{-\infty}^{\infty} \int_{-\infty}^{\infty} dx d\omega \coth \left(\frac{\omega}{2T} \right) \tanh \pi x f(i\omega + 4iDeHx)$$

Производя замену переменной $x \rightarrow 4DeHx$ имеем:

$$\begin{aligned} \frac{F(H, T)}{V} &= -\frac{1}{16\pi^2 Dd} \int_{-\infty}^{\infty} \int_{-\infty}^{\infty} dx d\omega \coth \left(\frac{\omega}{2T} \right) \tanh \left(\frac{\pi x}{4DeH} \right) f(i\omega + ix) \\ \mathcal{F} &\equiv -16\pi^2 Dd \frac{F(H, T)}{V} = \int_{-\infty}^{\infty} \int_{-\infty}^{\infty} dx d\omega \coth \left(\frac{\omega}{2T} \right) \tanh \left(\frac{\pi x}{4DeH} \right) f(i\omega + ix) \end{aligned}$$

Преимущество полученной формулы заключается в том что магнитное поле входит в нее только в знаменателе аргумента \tanh . Вычитание (бесконечной) константы не зависящей от магнитного поля не изменит ответа для намагниченности и восприимчивости, поэтому выражение для \mathcal{F} можно записать как:

$$\mathcal{F} = \int_{-\infty}^{\infty} d\omega \int_0^{\infty} dx \coth\left(\frac{\omega}{2T}\right) \left(\tanh\left(\frac{\pi x}{4DeH}\right) - 1\right) [f(i\omega + ix) - f(i\omega - ix)]$$

Раскладывая $[f(i\omega + ix) - f(i\omega - ix)]$ по x (интеграл набирается на $x \sim DeH$, разложение идет по параметру DeH/T который является малым), мы получим:

$$[f(i\omega + ix) - f(i\omega - ix)] = 2f'(i\omega)ix - \frac{1}{3}f'''(i\omega)ix^3 + \dots$$

Используя значения интегралов

$$\int_0^{\infty} dy y (\tanh y - 1) = -\frac{\pi^2}{24}; \quad \int_0^{\infty} dy y^3 (\tanh y - 1) = -\frac{7\pi^4}{960}$$

мы имеем (трремя точками обозначены опущенные слагаемые следующих порядков по полю):

$$\mathcal{F} = -\frac{4}{3}(DeH)^2 \int_0^{\infty} d\omega \coth \frac{\omega}{2T} \frac{\partial}{\partial \omega} (f(i\omega) + f(-i\omega)) + \dots = -\frac{8}{3}(DeH)^2 \operatorname{Re} \int_0^{\infty} d\omega \coth \frac{\omega}{2T} \frac{\partial}{\partial \omega} f(i\omega)$$

Вычитая и прибавляя к \coth единицу, можем записать это как:

$$\begin{aligned} \mathcal{F} &= -\frac{8}{3}(DeH)^2 \operatorname{Re} \int_0^{\infty} d\omega \left(\coth \frac{\omega}{2T} - 1 + 1 \right) \frac{\partial}{\partial \omega} f(i\omega) = \\ &= -\frac{8}{3}(DeH)^2 \operatorname{Re} \left[\int_0^{\infty} d\omega \frac{2}{e^{\frac{\omega}{T}} - 1} \frac{\partial}{\partial \omega} f(i\omega) + \int_0^{\infty} d\omega \frac{\partial}{\partial \omega} f(i\omega) \right] = \mathcal{F}_1 + \mathcal{F}_2 \end{aligned}$$

Вычисление \mathcal{F}_2 тривиально, так как под интегралом стоит полная производная

$$\mathcal{F}_2 = -\frac{8}{3}(DeH)^2 \operatorname{Re}(f(i\tau^{-1}) - f(0)) = -\frac{8}{3}(DeH)^2 \left(\log \log \frac{1}{T_c \tau} - \log \log \frac{T}{T_c} \right)$$

$$M_2 = -\frac{T_c e}{\pi^2 d} h \frac{\pi}{6\gamma_E} \left(\log \log \frac{1}{T_c \tau} - \log \log \frac{T}{T_c} \right) \quad (12)$$

Для \mathcal{F}_1 в случае T близкого к T_c , можно получить ответ использованный в работе [2]. Подставляя в качестве L выражение верное вблизи перехода, $f(x)$ представляется в виде

$$f(x) = \log \left(\epsilon + \frac{x}{4\pi T} \psi' \left(\frac{1}{2} \right) \right), \quad \epsilon = \log \frac{T}{T_c} = \frac{T - T_c}{T_c}$$

и используя тот факт что интеграл по ω набирается при $\omega \ll T$ (точнее на $\omega \sim \epsilon T$) мы раскладываем экспоненту $\frac{2}{e^{\frac{\omega}{T}} - 1} = 2T/\omega$ и получаем

$$\operatorname{Re} \int_0^{\infty} d\omega \frac{2}{e^{\frac{\omega}{T}} - 1} \frac{\partial}{\partial \omega} f(i\omega) = \frac{\psi'(1/2)}{4\epsilon} = \frac{\pi T \eta}{\epsilon D}$$

Для \mathcal{F} и F/V это дает

$$\mathcal{F} = -\frac{8}{3}(DeH)^2 \frac{\psi'(1/2)}{4\epsilon}, \quad \frac{F}{V} = \frac{1}{48} \frac{De^2 H^2}{d\epsilon}$$

Соответственно, флуктуационная намагниченность, равная по определению $M = -\frac{1}{V} \frac{\partial F}{\partial H}$,

$$M = -\frac{1}{24} \frac{De^2 H}{d} \frac{1}{\epsilon}$$

или, выделив размерную константу, окончательно получим

$$M = -\frac{T_c e}{\pi^2 d} h \frac{\pi^3}{48\gamma_E} \frac{1}{\epsilon}, \quad h = \frac{H}{H_{c2}(0)} \quad (13)$$

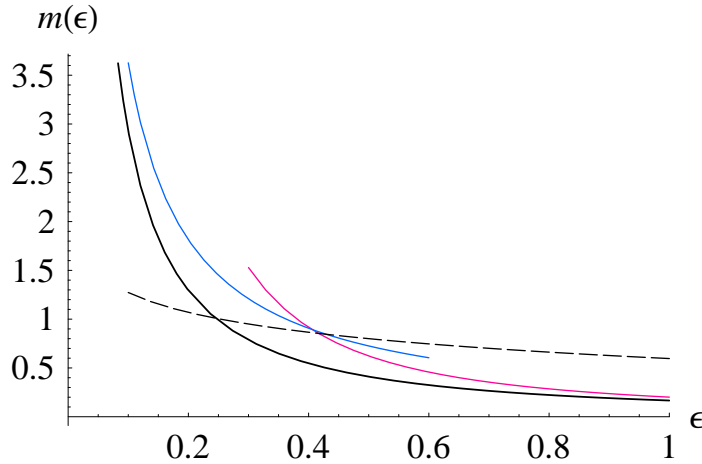


Рис. 3: зависимость обезразмеренной намагниченности $m = m(\epsilon) = M / \left(-\frac{T_c e}{\pi^2 d} h\right)$ от ϵ . Черная сплошная линия соответствует M_1 из (14), пунктирная — M_2 (на данном графике выбрано $\tau T_c = 1000$, M_2 очень слабо зависит от обрезания), синим и красным цветом показаны соответственно асимптотики M_1 вблизи и далеко от T_c , см. формулы (13) и (15)

Что в точности совпадает с результатом полученным в [6] и использованным в [2]³. Вклад \mathcal{F}_2 в данном случае несущественен, поскольку он зависит от температуры менее сингулярным образом, как $\log \epsilon$, и не заметен на фоне $\frac{1}{\epsilon}$.

В противоположном случае, когда $T \gg T_c$ результат для \mathcal{F}_1 может быть получен после разложения по параметру $(\psi(\frac{1}{2} + \frac{\omega}{4\pi T}) - \psi(\frac{1}{2}))/\epsilon$. Общая формула дает для \mathcal{F}_1, M_1 :

$$\mathcal{F}_1 = \frac{8}{3} (DeH)^2 \frac{1}{2\pi} \operatorname{Im} \int_0^\infty dx \frac{1}{e^x - 1} \left[\frac{\psi'(\frac{1}{2} + \frac{ix}{4\pi})}{\epsilon + \psi(\frac{1}{2} + \frac{ix}{4\pi}) - \psi(\frac{1}{2})} \right]$$

$$M_1 = -\frac{T_c e}{\pi^2 d} h \left(-\frac{1}{12\gamma_E} \right) \operatorname{Im} \int_0^\infty dx \frac{1}{e^x - 1} \left[\frac{\psi'(\frac{1}{2} + \frac{ix}{4\pi})}{\epsilon + \psi(\frac{1}{2} + \frac{ix}{4\pi}) - \psi(\frac{1}{2})} \right] \quad (14)$$

(мы заменили переменную интегрирования ω безразмерной переменной $x = \omega/T$). Разложение знаменателя до первого порядка по ϵ и численное вычисление полученных интегралов дает:

$$M_1 = -\frac{T_c e}{\pi^2 d} h \frac{1}{24\gamma_E} \left(\frac{A}{\epsilon} + \frac{B}{\epsilon^2} \right), \quad A = 3.85603, \quad B = 4.72586 \quad (15)$$

На рис. 3 видно что уже при $\epsilon \gtrsim 1$ и $\epsilon \lesssim 0.1$ значение M_1 из асимптотик хорошо согласуется с намагниченностью полученной из точной формулы.

3.1.2 Нулевая температура и произвольное $H > H_{c2}(0)$

Начнем наше рассмотрение с нахождения значения верхнего критического поля $H_{c2}(0)$ при нулевой температуре. Оно определяется появлением полюса у пропагатора (8) при $\Omega_k = 0, n = 0$. Используя значение $\psi(1/2)$ и асимптотику ψ функции на больших значениях аргумента, мы получаем [4]:

$$H_{c2}(0) = \frac{\pi T_c}{2\gamma_E De}$$

где $\gamma_E = 1.78$ — константа Эйлера. Для $\mathcal{L}(\Omega_k, n)$ определенной в (11) при $T = 0$ мы получаем:

$$\mathcal{L}(\Omega_k, n) = \log \frac{|\Omega_k| + 4DeH(n + \frac{1}{2})}{x_0} \text{ где } x_0 = \frac{\pi T_c}{\gamma_E}$$

³Использовав обозначения Уссишкина, $\frac{\psi'(1/2)}{4\epsilon} = \frac{\pi T_h \eta}{\epsilon D}$, для намагниченности мы получим $M = -\frac{\epsilon^2 T_h \eta}{3\pi d} \frac{\eta}{\epsilon}$, что воспроизводит формулу (37) из [2]

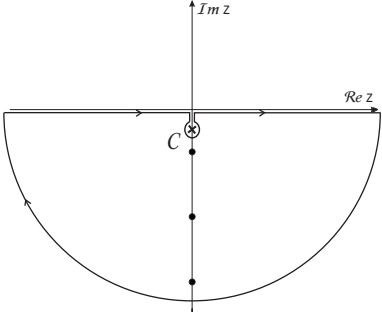


Рис. 4: Контур интегрирования при $\Omega < x_0$

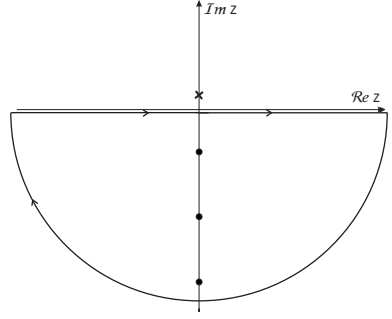


Рис. 5: контур интегрирования при $\Omega > x_0$

Суммирование по Ω_k превращается в интеграл: $T \sum_{\Omega_k} = \frac{1}{2\pi} \int_{-\infty}^{\infty} d\Omega = \frac{1}{\pi} \int_0^{\infty} d\Omega$, однако сумма по уровням Ландау не может быть напрямую превращена в интеграл по x , так как $f(x)$ имеет особенности, которые нельзя пересекать, деформируя контур. Обозначим $z = 4DeH(n + \frac{1}{2})$ и рассмотрим \mathcal{L} как функцию комплексной переменной iz . $\mathcal{L}(\Omega, iz)$ зануляется в точке $iz^* = x_0 - \Omega$, и для $\Omega < x_0$ эта существенная особенность пересекается при «наивной» деформации контура. Однако, если $\Omega > x_0$, особенность лежит в плоскости $\text{Im } z > 0$ и контур можно деформировать как и раньше. Таким образом, при $\Omega < x_0$,

$$\sum_n \log \mathcal{L}(\Omega, n) = -\frac{1}{8iDeH} \left\{ \int_{-\infty}^{\infty} dz \tanh \frac{\pi z}{4DeH} \log \mathcal{L}(\Omega, iz) + \int_C dz \tanh \frac{\pi z}{4DeH} \log \mathcal{L}(\Omega, iz) \right\}$$

где C — контур изображенный на рис. 4. Если же $\Omega > x_0$, то положение особенностей на комплексной плоскости становится таким как на рис. 5, и мы имеем:

$$\sum_n \log \mathcal{L}(\Omega, n) = -\frac{1}{8iDeH} \left\{ \int_{-\infty}^{\infty} dz \tanh \frac{\pi z}{4DeH} \log \mathcal{L}(\Omega, iz) \right\}$$

Возвращаясь к общей формуле

$$\frac{F}{V} = \frac{eHT}{\pi d} \sum_{\Omega_k, n} \log \mathcal{L} = \frac{eH}{\pi^2 d} \int_0^{\infty} d\Omega \sum_n \log \mathcal{L}$$

и подставляя сюда полученные соотношения для суммы по уровням Ландау, имеем:

$$\begin{aligned} \frac{F}{V} &= -\frac{1}{8\pi^2 Dd} \frac{1}{i} \left[\int_0^{x_0} d\Omega \left\{ \int_0^{\infty} dz \tanh \frac{\pi z}{4DeH} 2i \arctan \frac{\arctan \frac{z}{\Omega}}{\log \frac{\sqrt{z^2 + \Omega^2}}{x_0}} + \int_0^{\sqrt{x_0^2 - \Omega^2}} dz \tanh \frac{\pi z}{4DeH} 2i\pi + \right. \right. \\ &\quad \left. \left. + \int_0^{z^*} dz \tan \frac{\pi z}{4DeH} 2i\pi \right\} + \int_{x_0}^{\infty} d\Omega \int_0^{\infty} dz \tanh \frac{\pi z}{4DeH} 2i \arctan \frac{\arctan \frac{z}{\Omega}}{\log \frac{\sqrt{z^2 + \Omega^2}}{x_0}} \right] \\ F &= -\frac{1}{8\pi^2 Dd} \left[\int_0^{x_0} d\Omega \left\{ \int_0^{\sqrt{x_0^2 - \Omega^2}} dz \tanh \frac{\pi z}{4DeH} 2\pi + \int_0^{x_0 - \Omega} dz \tan \frac{\pi z}{4DeH} 2\pi \right\} \right. \\ &\quad \left. + \int_0^{\infty} d\Omega \int_0^{\infty} dz \tanh \frac{\pi z}{4DeH} 2 \arctan \frac{\arctan \frac{z}{\Omega}}{\log \frac{\sqrt{z^2 + \Omega^2}}{x_0}} \right] \end{aligned}$$

Образмерив переменные интегрирования: $\Omega \rightarrow x_0 w$, $z \rightarrow x_0 y$, $x_0 = \frac{\pi T_c}{\gamma_E} = 2DeH_{c2}$ и явно взяв интеграл по z во втором слагаемом, получим (мы вычли независящую от H константу):

$$\begin{aligned} \frac{F}{V} &= -\frac{De^2 H_{c2}^2}{2\pi^2 d} \left[\int_0^{\infty} dw \int_0^{\infty} dy \left(\tanh \frac{\pi H_{c2} y}{2H} - 1 \right) 2 \arctan \frac{\arctan \frac{y}{w}}{\log \sqrt{y^2 + w^2}} + \right. \\ &\quad \left. + 2\pi \left(\frac{2H}{\pi H_{c2}} \right) \int_0^1 dw \log \cosh \left(\frac{\pi H_{c2}}{2H} \sqrt{1 - w^2} \right) - 2\pi \left(\frac{2H}{\pi H_{c2}} \right)^2 \int_0^{\frac{\pi H_{c2}}{2H}} dw \log \cos w \right] \end{aligned}$$

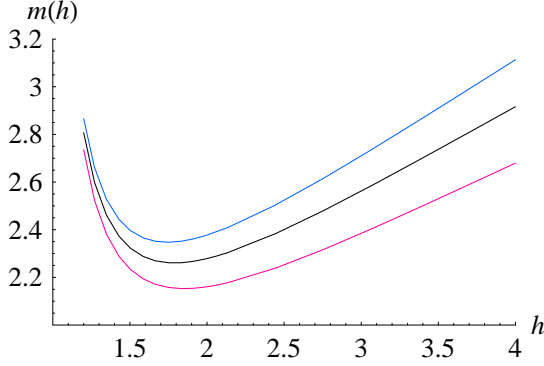


Рис. 6: зависимость безразмерной намагниченности от обрезания, для значений $\tau T_c = 500, 2000$ и 8000 (нижняя, средняя и верхняя кривые соответственно)

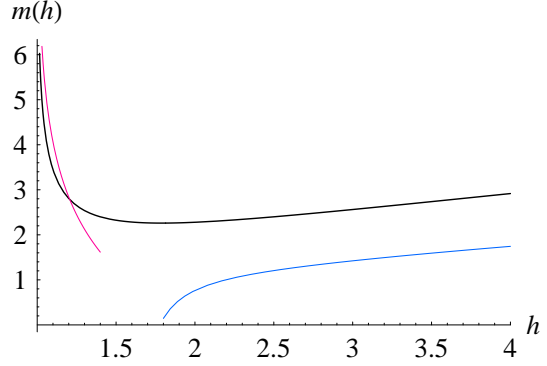


Рис. 7: зависимость безразмерной намагниченности и асимптотики при больших h и h близких к 1, из формул (18), (16)

Единственный параметр в этой формуле — безразмерная величина $\frac{\pi H_{c2}}{2H}$, поэтому данную формулу можно напрямую использовать для численных вычислений. Однако в случае близости к $H_{c2}(0)$, можно получить ответ аналитически: основной вклад дает последнее слагаемое, так как его производная, по полю (равная намагниченности) расходится логарифмически при $H = H_{c2}$. В результате:

$$\frac{F}{V}(H \rightarrow H_{c2}) = \frac{4De^2H^2}{\pi^3 d} \int_0^{\frac{\pi H_{c2}}{2H}} dw \log \cos w$$

$$M = -\frac{1}{V} \frac{\partial F}{\partial H} = -\frac{2De^2H_{c2}}{\pi^2 d} \log \eta^{-1} = -\frac{T_c e}{\pi^2 d} \frac{\pi}{\gamma_E} \log \eta^{-1}; \quad \eta = \frac{H - H_{c2}}{H_{c2}} \quad (16)$$

где η измеряет относительную близость к точке сверхпроводящего перехода. Таким образом мы воспроизвели результат полученный в работе [8].

Возвращаясь к намагниченности при произвольных значениях магнитного поля (в эксперименте [1] магнитное поле изменялось вплоть до $4 \times H_{c2}$), мы вычисляем функцию:

$$\begin{aligned} \mathcal{Q}(h) = & - \int_0^{\frac{1}{\tau x_0}} dw \int_0^\infty dy \left(\tanh \frac{\pi y}{2h} - 1 \right) 2 \arctan \frac{\arctan \frac{y}{w}}{\log \sqrt{y^2 + w^2}} - \\ & - 2\pi \left(\frac{2h}{\pi} \right) \int_0^1 dw \log \cosh \left(\frac{\pi}{2h} \sqrt{1 - w^2} \right) + 2\pi \left(\frac{2h}{\pi} \right)^2 \int_0^{\frac{\pi}{2h}} dw \log \cos w \end{aligned}$$

где $h = \frac{H}{H_{c2}}$ — безразмерное магнитное поле. Теперь для намагниченности $M = -\frac{1}{V} \frac{\partial F}{\partial H}$ мы получаем следующее выражение через $\mathcal{Q}(h)$:

$$M = -\frac{T_c e}{\pi^2 d} m(h)$$

$$\begin{aligned} m(h) = \frac{\pi}{4\gamma_E} \mathcal{Q}'(h) = & \frac{\pi}{4\gamma_E} \left\{ \frac{\pi}{h^2} \int_0^{\frac{1}{\tau x_0}} dw \int_0^\infty dy \frac{y}{\cosh^2 \frac{\pi y}{2h}} \arctan \frac{\arctan \frac{y}{w}}{\log \sqrt{y^2 + w^2}} - 4 \int_0^1 dw \log \cosh \left(\frac{\pi}{2h} \sqrt{1 - w^2} \right) \right. \\ & \left. + \left(\frac{2\pi}{h} \right) \int_0^1 dw \sqrt{1 - w^2} \tanh \left(\frac{\pi}{2h} \sqrt{1 - w^2} \right) + \frac{16h}{\pi} \int_0^{\frac{\pi}{2h}} dw \log \cos w - 4 \log \cos \frac{\pi}{2h} \right\} \quad (17) \end{aligned}$$

Как и в предыдущем разделе, представляет интерес получение асимптотики при $H \gg H_{c2}$. В этом пределе два последних слагаемых в \mathcal{Q} дают пренебрежимо малый вклад по сравнению с первым слагаемым (они ведут себя как $\frac{1}{h}$ при больших h). Простая оценка для первого слагаемого дает

$$\mathcal{Q}(h) \simeq \frac{h^2}{3} \left(\log \log \frac{1}{\tau x_0} - \log \log \frac{2h}{\pi} \right) \quad (18)$$

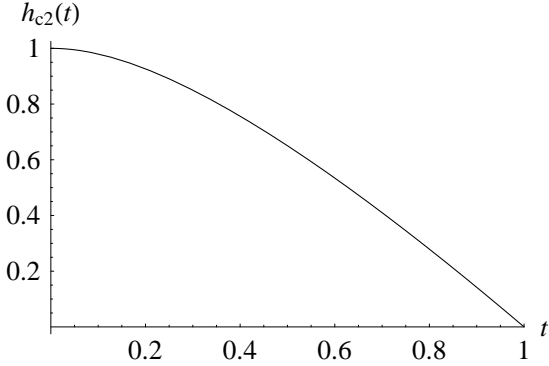


Рис. 8: линия сверхпроводящего перехода, $h_{c2}(t) = \frac{H_{c2}(T)}{H_{c2}(0)}$, $t = \frac{T}{T_c}$

Однако область применимости этой асимптотики по сути никогда не достигается (см рис. 7), поскольку для этого необходимо чтобы двойной логарифм $\log \log \frac{1}{\tau_{x_0}}$ был много больше единицы, а это в реальности никогда не происходит.

3.1.3 Намагниченность вблизи линии сверхпроводящего перехода

Линия сверхпроводящего перехода определяется наличием полюса у пропагатора флукуационных пар на нулевой частоте и наименее уровне Ландау [4]. Переходя к обезразмеренным температуре и полю, $t = \frac{T}{T_c}$, $h = \frac{H}{H_{c2}(0)}$, мы получим что линия перехода $h_{c2}(t)$ определяется решением уравнения:

$$\log t + \psi\left(\frac{1}{2} + \frac{h_{c2}(t)}{4\gamma_E t}\right) - \psi\left(\frac{1}{2}\right) = 0$$

и изображена на рис. 8. Сначала мы рассмотрим намагниченность когда мы смещаемся с линии перехода по магнитному полю, т.е. увеличиваем поле от $H_{c2}(T)$ до H . Для этого нам необходимо изучить положение нулей функции (10) в зависимости от параметров T , H , Ω , n :

$$\mathcal{L}(T, H, \Omega, x) = \log \frac{T}{T_c} + \psi\left(\frac{1}{2} + \frac{\Omega + 4DeHx}{4\pi T}\right) - \psi\left(\frac{1}{2}\right)$$

Легко видеть, что в случае когда точка (T, H) находится выше линии перехода, сингулярность для $x = n + \frac{1}{2}$ в плоскости Ω находится в точке $\Omega_0 < 0$. Таким образом, мы можем превратить сумму по Ω в интеграл не заботясь о пересечении нашим контуром особенностей. После чего, трансформируя сумму по n мы уже должны обратить внимание на особенности слагаемых:

$$\frac{F(H, T)}{V} = +\frac{eHT}{\pi d} \sum_{\Omega_k, n} \log \mathcal{L}(\Omega_k, n) = -\frac{1}{2\pi i} \frac{eHT}{\pi d} \int_{-\infty}^{\infty} d\omega \coth \frac{\omega}{2T} \sum_n \log \mathcal{L}(i\omega, n)$$

При фиксированном действительном значении ω , $\mathcal{L}(i\omega, x)$ имеет ноль в точке $i\omega + 4DeHx = 4DeH_c(T) \cdot \frac{1}{2}$, а у логарифма там соответственно существенная особенность. Таким образом аналогично предыдущему случаю, при деформации контура он не должен пересекать особенность и мы опять имеем два слагаемых: одно — от интегрирования по действительной оси, другое — от части контура $C[\omega]$ обходящей особенность (см. рис. 9 в следующем разделе).

$$\sum_n \log \mathcal{L}(i\omega, n) = -\frac{1}{2i} \left[\int_{-\infty}^{\infty} dx \tanh \pi x \log \mathcal{L}(i\omega, ix) + \int_{C[\omega]} dz \tanh \pi z \log \mathcal{L}(i\omega, iz) \right]$$

После замены переменной $4DeHx \rightarrow z$ имеем:

$$\frac{F(H, T)}{V} = -\frac{1}{16\pi^2 Dd} \int_{-\infty}^{\infty} d\omega \coth \frac{\omega}{2T} \left[\int_{-\infty}^{\infty} dz \tanh \frac{\pi z}{4DeH} \log \mathcal{L}(i\omega, iz) + \int_{C[\omega]} dz \tanh \frac{\pi z}{4DeH} \log \mathcal{L}(i\omega, iz) \right] \quad (19)$$

$$F = F_{reg} + F_{sing}$$

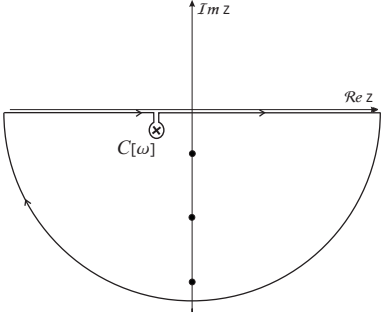


Рис. 9: Контур интегрирования при $T < T_c$

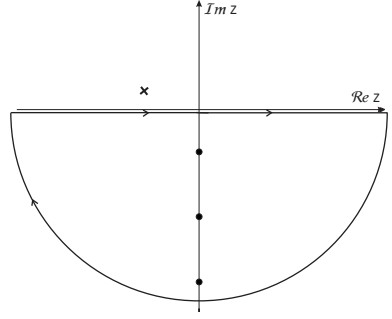


Рис. 10: контур интегрирования при $T > T_c$

Пока $H_{c2}(T)$ не сильно мало, основной вклад в F в случае близости к линии перехода происходит от интеграла по $C[\omega]$, поэтому мы можем написать (мы снова вычли не зависящую от H константу):

$$\begin{aligned} \frac{F_{sing}(H, T)}{V} &= -\frac{1}{16\pi^2 Dd} \int_{-\infty}^{\infty} d\omega \coth \frac{\omega}{2T} \int_{C[\omega]} dz \left(\tanh \frac{\pi z}{4DeH} - 1 \right) \log \mathcal{L}(i\omega, iz) = \\ &= \frac{eH}{\pi^2 d} \int_0^{\infty} d\omega \coth \frac{\omega}{2T} \left[\frac{\pi}{2} \frac{H_{c2}(T)}{H} - \arctan \left(\tanh \frac{\pi\omega}{4DeH} \tan \frac{\pi H_{c2}(T)}{2H} \right) \right] \end{aligned} \quad (20)$$

Для M , дифференцируя по H и оставляя лишь расходящееся слагаемое, получим:

$$M = -\frac{2De^2 H_{c2}(T)}{\pi^2 d} \int_0^{\infty} dw \coth \frac{2DeHw}{\pi T} \frac{\tanh w}{\left(\frac{\pi}{2}\eta\right)^2 + \tanh^2 w} = -\frac{T_c e}{\pi^2 d} \frac{\pi T}{T_c} \frac{1}{\eta} \quad (21)$$

где η характеризует близость к линии перехода: $\eta = \frac{H - H_{c2}(T)}{H_{c2}(T)} \ll 1$, и это приближение годится при $\frac{2DeH}{\pi T} \eta = \frac{1}{\gamma_E} \frac{h\eta}{t} \ll 1$. В противоположном случае, если $\eta \ll 1$ но $\frac{1}{\gamma_E} \frac{h\eta}{t} \gg 1$, интеграл в (21) набирается когда \coth уже равен единице, таким образом, опуская слагаемые порядка единицы, мы можем получить

$$M = -\frac{T_c e}{\pi^2 d} h_{c2}(t) \frac{\pi}{\gamma_E} \log \eta^{-1} \quad (22)$$

что при $T = 0$, поскольку $h_{c2}(0) = 1$ переходит в формулу (16). Мы видим что вблизи линии перехода существуют два режима — (21) и (22), переход между которыми происходит на линии

$$\frac{1}{\gamma_E} \frac{h\eta}{t} \approx 1 \quad (23)$$

Соответственно, для еще больших η мы имеем кроссовер к двойной логарифмической асимптотике, который происходит когда $\eta \approx 1$.

Случай движения вдоль оси температур мы можем рассматривать как сдвиг по H но из другой точки. Тогда $\eta = \frac{H - H_{c2}(T)}{H_{c2}(T)}$ и $\xi = \frac{T - T_c(H)}{T_c(H)}$ связаны след. образом:

$$\frac{\eta}{\xi} = -\frac{T}{H_{c2}(T)} \frac{d}{dT} H_{c2}(T) = -\frac{d \log H_{c2}(T)}{d \log T}$$

И для M мы получаем:

$$M = -\frac{T_c e}{\pi^2 d} \frac{\pi T}{T_c} \frac{1}{\eta} = -\frac{T_c e}{\pi^2 d} \left(\left| \frac{d}{d(T/T_c)} \log(H_{c2}(T)/H_{c2}(0)) \right| \right)^{-1} \frac{\pi}{\xi}$$

3.2 Выражение для M при произвольных H и T

Мы пользуемся формулами (19),(20) из предыдущего раздела, однако, учитя что при $T > T_c$ сингулярность

сдвигается в область $\operatorname{Re} z < 0$ (см рис. 9,10), и вклад от интегрирования по $C[\omega]$ отсутствует, $F_{sing} = 0$. Первый вклад записывается как и раньше

$$\frac{F_{reg}}{V} = -\frac{1}{16\pi^2 Dd} \int_{-\infty}^{\infty} d\omega \coth \frac{\omega}{2T} \int_{-\infty}^{\infty} dz \tanh \frac{\pi z}{4DeH} \log \mathcal{L}(i\omega, iz)$$

превратив $\int_{-\infty}^{\infty}$ в \int_0^{∞} имеем:

$$\frac{F_{reg}}{V} = -\frac{1}{16\pi^2 Dd} \int_0^{\infty} d\omega \coth \frac{\omega}{2T} \int_0^{\infty} dz \left(\tanh \frac{\pi z}{4DeH} - 1 \right) \log \frac{\mathcal{L}(i\omega, iz)\mathcal{L}(-i\omega, -iz)}{\mathcal{L}(-i\omega, iz)\mathcal{L}(i\omega, -iz)}$$

F_{sing} умножается на $\theta(T_c - T)$, поскольку для всех $T > T_c$ должно быть $F_{sing} = 0$:

$$\frac{F_{sing}}{V} = \theta(T_c - T) \frac{eH}{\pi^2 d} \int_0^{\infty} d\omega \coth \frac{\omega}{2T} \left[\frac{\pi}{2} \frac{H_{c2}(T)}{H} - \arctan \left(\tanh \frac{\pi\omega}{4DeH} \tan \frac{\pi H_{c2}(T)}{2H} \right) \right]$$

После обезразмеривания переменных интегрирования и определения $\mathcal{L}(w, y)$ для новых переменных, получаем формулу пригодную для вычислений:

$$t = \frac{T}{T_c}, \quad h = \frac{H}{H_{c2}(0)}, \quad h_{c2}(t) = \frac{H_{c2}(T)}{H_{c2}(0)}, \quad w = \frac{\omega}{T_c}, \quad y = \frac{z}{2DeH_{c2}(0)}$$

$$\mathcal{L}(w, y) = \log t + \psi \left(\frac{1}{2} + \frac{w}{4\pi t} + \frac{y}{4\gamma_E t} \right) - \psi \left(\frac{1}{2} \right)$$

$$\frac{F_{reg}(t, h)}{V} = -\frac{T_c^2}{16\pi\gamma_E Dd} \int_0^{\infty} dw \coth \frac{w}{2t} \int_0^{\infty} dy \left(\tanh \frac{\pi y}{2h} - 1 \right) \log \frac{\mathcal{L}(iw, iy)\mathcal{L}(-iw, -iy)}{\mathcal{L}(-iw, iy)\mathcal{L}(iw, -iy)}$$

$$\frac{F_{sing}(t, h)}{V} = \theta(T_c - T) \frac{T_c^2}{2\pi\gamma_E Dd} \int_0^{\infty} dw \coth \frac{w}{2t} \left[\frac{\pi}{2} h_{c2}(t) - h \arctan \left(\tanh \frac{\gamma_E w}{2h} \tan \frac{\pi h_{c2}(t)}{2h} \right) \right]$$

Намагниченность равна

$$M = -\frac{1}{V} \frac{\partial F}{\partial H} = -\frac{1}{V} \frac{1}{H_{c2}(0)} \frac{\partial F(t, h)}{\partial h}$$

Собирая оба слагаемых

$$M = -\frac{T_c e}{\pi^2 d} \frac{\partial}{\partial h} \left\{ \theta(T_c - T) \int_0^{\infty} dw \coth \frac{w}{2t} \left[\frac{\pi}{2} h_{c2}(t) - h \arctan \left(\tanh \frac{\gamma_E w}{2h} \tan \frac{\pi h_{c2}(t)}{2h} \right) \right] - \frac{1}{8} \int_0^{\infty} dw \coth \frac{w}{2t} \int_0^{\infty} dy \left(\tanh \frac{\pi y}{2h} - 1 \right) \log \frac{\mathcal{L}(iw, iy)\mathcal{L}(-iw, -iy)}{\mathcal{L}(-iw, iy)\mathcal{L}(iw, -iy)} \right\}$$

и вычисляя производную, окончательно получаем:

$$M = -\frac{T_c e}{\pi^2 d} \left\{ \theta(T_c - T) \int_0^{\infty} dw \coth \frac{w}{2t} \left[\frac{1}{2h} \frac{\gamma_E w \sin \frac{\pi h_{c2}(t)}{h} + \pi h_{c2}(t) \sinh \frac{\gamma_E w}{h}}{\cos \frac{\pi h_{c2}(t)}{h} + \cosh \frac{\gamma_E w}{h}} - \arctan \left(\tanh \frac{\gamma_E w}{2h} \tan \frac{\pi h_{c2}(t)}{2h} \right) \right] + \frac{\pi}{16h^2} \int_0^{\infty} dw \coth \frac{w}{2t} \int_0^{\infty} dy \frac{y}{\cosh^2 \frac{\pi y}{2h}} \log \frac{\mathcal{L}(iw, iy)\mathcal{L}(-iw, -iy)}{\mathcal{L}(-iw, iy)\mathcal{L}(iw, -iy)} \right\} \quad (24)$$

Эта формула может быть использована для численных подсчетов в произвольной области значений полей выше линии сверхпроводящего перехода. В частности, на рис. 11 показан зависимость $m(h, t)$ в области $h, t = 0 \dots 1.5$.

3.3 Сшивка результатов

Для получения общей картины поведения намагниченности во всей плоскости (h, t) полученных асимптотик (13), (16), (21), (22) оказывается еще недостаточно. Остается невыясненным поведение намагниченности вблизи точки T_c при различных значениях магнитного поля. Рассмотрением данных случаев мы и займемся перед построением общей картины поведения $m(h, t)$.

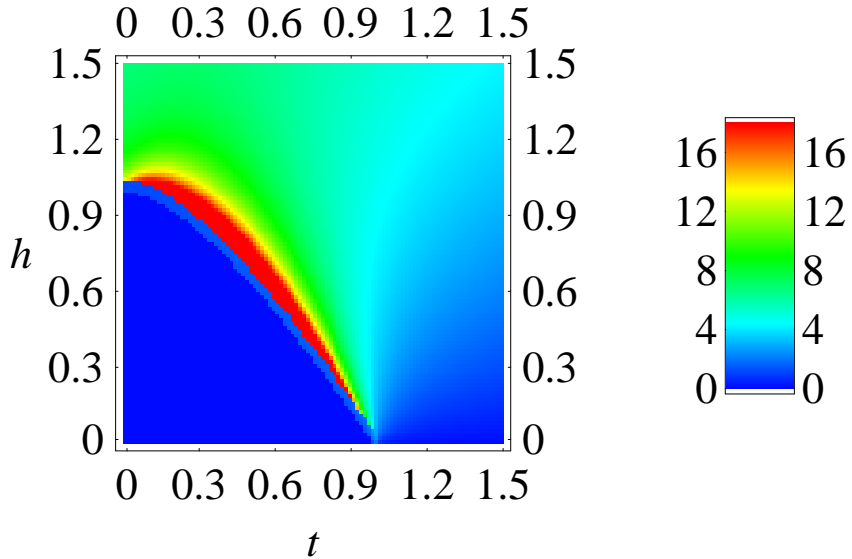


Рис. 11: зависимость безразмерной намагниченности $m(h, t)$ от h, t при $\tau T_c = 1000$ в области $H = 0 \dots 1.5 H_{c2}(0)$, $T = 0 \dots 1.5 T_c(0)$.

3.3.1 Окрестность T_c , более подробное рассмотрение

В силу нашего выбора контура интегрирования при получении формулы (24) из (9), ответ содержит два слагаемых, одно из которых исчезает при $T > T_c$. Поэтому вывод асимптотики следует производить разными способами по разные стороны от линии $t = 1$, однако, следует подчеркнуть, что эта линия не несет никакого физического смысла, и является результатом определенного выбора контура интегрирования.

При $t \geq 1$ слагаемое с θ -функцией отсутствует и мы вычисляем только последний член в (24), разлагая пропагатор в силу близости к переходу и заменяя $\coth \frac{w}{2t} \rightarrow \frac{2t}{w}$ (мы находимся при $\epsilon \ll 1$ и поэтому такое разложение допустимо), получаем:

$$\int_0^\infty dw \coth \frac{w}{2t} \log \frac{\mathcal{L}(iw, iy)\mathcal{L}(-iw, -iy)}{\mathcal{L}(-iw, iy)\mathcal{L}(iw, -iy)} = 2\pi \arctan \frac{\pi^2 y}{8\gamma_E t \epsilon}$$

(напомним, $\epsilon = \log \frac{T}{T_c} = \frac{T-T_c}{T_c}$). После чего для намагниченности имеем

$$m(h, t) = -\frac{\partial}{\partial h} \left\{ \frac{\pi t}{2} \int_0^\infty dy \left(\tanh \frac{\pi y}{2h} - 1 \right) \arctan \frac{\pi^2 y}{8\gamma_E t \epsilon} \right\} \quad (25)$$

При $h \ll \epsilon$, мы воспроизводим ответ (13), $m = \frac{\pi^3}{48\gamma_E} \frac{h}{\epsilon}$. А для $h \gg \epsilon$, получаем

$$M = -\frac{T_c e}{\pi^2 d} \frac{\pi^3}{48} t, \quad \text{т.е.} \quad m \sim 1 \quad (26)$$

Переход от (13) к (26) происходит при $h \approx 1$

В области $t < 1$ результат (25) остается таким же, только вместо $\epsilon < 0$ надо писать $|\epsilon|$. Первый член из (24) ведет себя как $\frac{1}{\eta}$ при $\eta < 1$, как мы получили ранее. Если же $\eta \gg 1$ и при этом $h \ll t$ (что прекрасно выполняется вблизи T_c , так как там $t = 1$, а h мы считаем малым но много большим $h_{c2}(t)|_{t \rightarrow 1} \rightarrow 0$), то можно получить для второго слагаемого

$$m_2 = \pi t \frac{h_{c2}(t)}{h}, \quad m_2 \ll 1$$

Это означает, так как m_1 этой области такое же как в (26) (конечно при $h > |\epsilon|$), что m_2 можно пренебречь по сравнению с m_1 когда $h > |\epsilon|$, $h > h_{c2}(t)$. Таким образом окончательно мы получаем

$$m = \frac{\pi^3}{48} t \sim 1 \quad \text{при} \quad h \gg |\epsilon|, \quad h \gg h_{c2}(t) \quad (27)$$

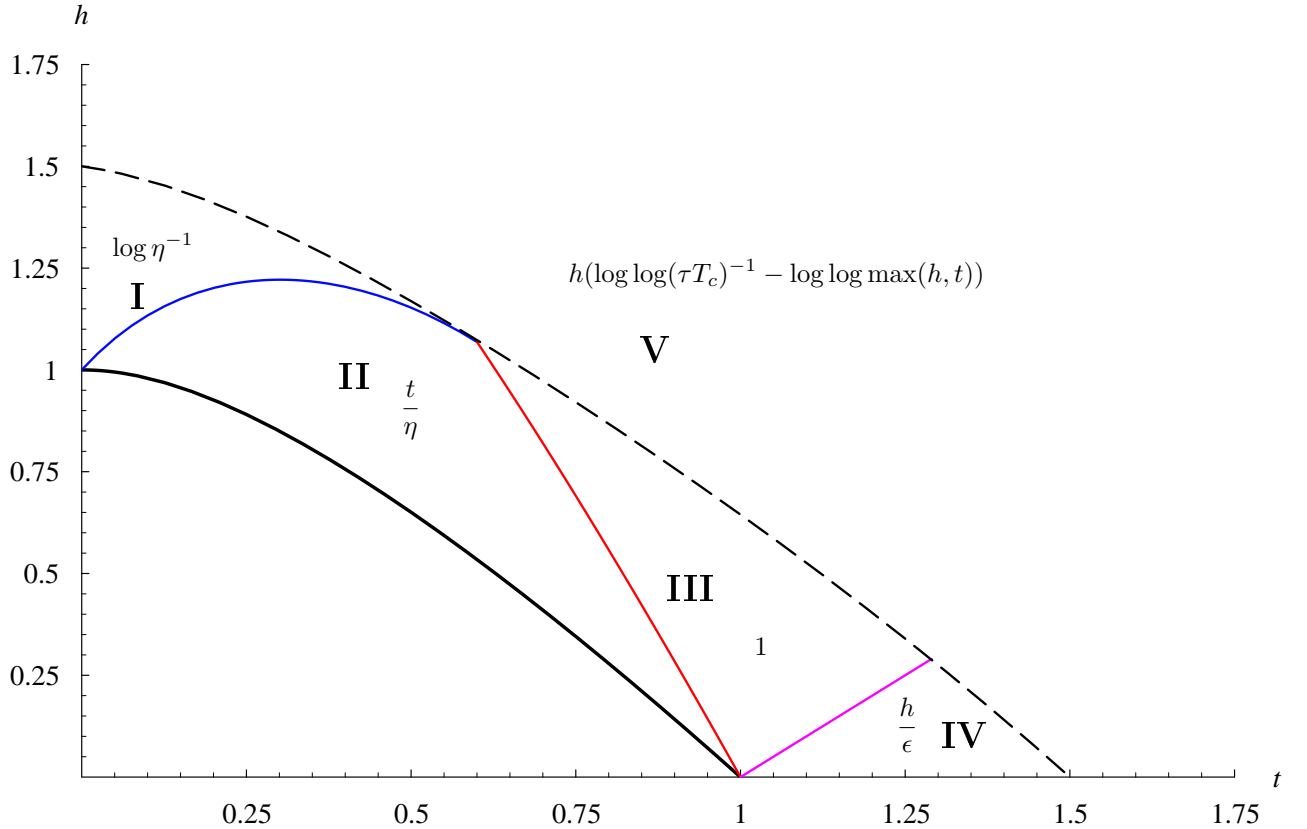


Рис. 12: Зависимость $m(h, t)$ в различных областях с точностью до численного коэффициента. Синяя линия соответствует условию $\frac{\eta h}{t} \sim 1$, красная — $\eta \sim 1$, фиолетовая — $h \sim \epsilon$. Различные области поведения пронумерованы цифрами, точные асимптотики приведены в таблице.

3.3.2 Общая картина

Теперь мы можем нарисовать общую картину поведения намагниченности во всей плоскости (h, t) , собирая воедино асимптотики и линии на которых происходит кроссовер между ними из формул (13), (21), (22), (27). В результате получаем рис. 12. и таблицу в которой сведены все асимптотики в единой форме.

Область	$m(h, t)$
I	$h_{c2}(t) \frac{\pi}{\gamma_E} \log \eta^{-1}$
II	$\frac{\pi T}{T_c} \frac{1}{\eta}$
III	$\frac{\pi^3}{48} t$
IV	$\frac{\pi^3}{48 \gamma_E} \frac{h}{\epsilon}$
V	$h \frac{\pi}{6 \gamma_E} (\log \log(\tau T_c)^{-1} - \log \log \max(h, t))$

4 Выводы и план дальнейших исследований

В данной работе мы наметили схему вычисления коэффициента Нернста в произвольной области полей и температур и вычислили намагниченность, которую необходимо вычесть из ответа даваемого диаграммной техникой. Следующим шагом является вывод эффективной вершины взаимодействия электромагнитного поля с флюктуационными куперовскими парами. После чего, поскольку выражение для пропагатора известно, станет возможной запись выражения для трех диаграмм и их непосредственное вычисление. Вычитая из полученного ответа намагниченность, мы найдем β^{xy} и коэффициент Нернста ν_N .

Список литературы

- [1] A. Pourret et al., *A length scale for the superconducting Nernst signal above T_c in $Nb_{0.15}Si_{0.85}$* , cond-mat/0701376.
- [2] I. Ussishkin, *Superconducting fluctuations and the Nernst effect: A diagrammatic approach*, Phys. Rev. B **68**, 024517 (2003).
- [3] Варламов А.А., Ларкин А.И., *Теория флюктуаций в сверхпроводниках*, Добросвет, Москва 2007.
- [4] E. Helfand and N. R. Werthamer, Phys. Rev. **147**, 288-294 (1966).
- [5] Л.Г. Асламазов, А.И. Ларкин, *Влияние флюктуаций на свойства сверхпроводника при температурах выше критической*, Физ. тверд. тела **10**, 1104 (1968).
- [6] Л.Г. Асламазов, А.И. Ларкин, *Флюктуационная магнитная восприимчивость сверхпроводников и нормальных металлов*, ЖЭТФ **67**, 647 (1974);
Л.Н. Булаевский *Диамагнитные флюктуации в слоистых сверхпроводниках и маленьких сверхпроводящих частицах*, ЖЭТФ **66**, 2213 (1974).
- [7] M. Y. Reizer and A. V. Sergeev, Phys. Rev. B **50**, 9344 (1994) [CAS].
- [8] V.M Galitski, A.I Larkin *Superconducting fluctuation at low temperature*, Phys. Rev. B. **63**, 174506 (2001).